

Dynamisches Verhalten in Neuronalen Netzen

Sebastian Copony

30.08.2007

Motivation

- Computer sind dem Gehirn bei Problemen, welche durch Algorithmen zu lösen sind, überlegen
- Aber deutlich schlechter in z.B. der Bilderkennung

Motivation

- Computer sind dem Gehirn bei Problemen, welche durch Algorithmen zu lösen sind, überlegen
- Aber deutlich schlechter in z.B. der Bildererkennung
- Idee: Arbeitsweise des Gehirns auf Maschinen übertragen → Künstliche Neuronale Netze

Motivation

- Computer sind dem Gehirn bei Problemen, welche durch Algorithmen zu lösen sind, überlegen
- Aber deutlich schlechter in z.B. der Bilderkennung
- Idee: Arbeitsweise des Gehirns auf Maschinen übertragen → Künstliche Neuronale Netze
- Eigenschaften: lernfähig, robust, fehlertolerant, hochparallele Informationsverarbeitung

Motivation

- Computer sind dem Gehirn bei Problemen, welche durch Algorithmen zu lösen sind, überlegen
- Aber deutlich schlechter in z.B. der Bilderkennung
- Idee: Arbeitsweise des Gehirns auf Maschinen übertragen → Künstliche Neuronale Netze
- Eigenschaften: lernfähig, robust, fehlertolerant, hochparallele Informationsverarbeitung
- Die meisten Modelle beziehen keine chaotische Dynamik ein, was biologischem Vorbild widerspricht

Motivation

- Computer sind dem Gehirn bei Problemen, welche durch Algorithmen zu lösen sind, überlegen
- Aber deutlich schlechter in z.B. der Bilderkennung
- Idee: Arbeitsweise des Gehirns auf Maschinen übertragen → Künstliche Neuronale Netze
- Eigenschaften: lernfähig, robust, fehlertolerant, hochparallele Informationsverarbeitung
- Die meisten Modelle beziehen keine chaotische Dynamik ein, was biologischem Vorbild widerspricht

Künstliches Neuron

Definition

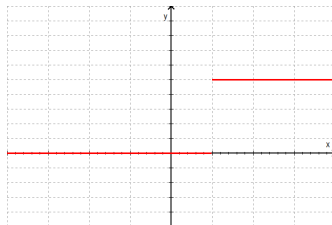
Ein (*künstliches*) *Neuron* ist ein Tupel (x, w, f_a, f_o, o) bestehend aus einem Eingabevektor $x = (x_1, \dots, x_n)$, einem Gewichtevektor $w = (w_1, \dots, w_n)$, einer Aktivierungsfunktion $f_a : \mathbb{R}^n \times \mathbb{R}^n \times \Theta \rightarrow \mathbb{R}$ und einer Ausgabefunktion $f_o : \mathbb{R} \rightarrow \mathbb{R}$, wobei $f_o(f_a) = o$ der Ausgabewert ist, welcher an die nachfolgenden Neuronen weitergeleitet wird.

- Aktivierungszustand $a = f_a(\text{net}, \Theta)$
 - Netzeingabe $\text{net} = \sum_{i=1}^n w_i x_i$
 - Schwellenwert Θ
- meistens $f_o = \text{id}$, also $o = a$

Aktivierungsfunktionen

binäre Schwellenwertfunktion

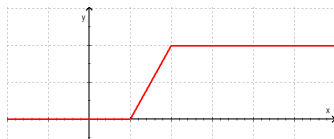
$$f_a = \begin{cases} 1 & , \text{für } \sum_{i=1}^n w_i x_i \geq \Theta, \\ 0 & , \text{sonst.} \end{cases}$$



Aktivierungsfunktionen

stückweise lineare Funktionen

$$f_{a,\mu}(z) = \begin{cases} 0 & , \text{ für } z = \sum_{i=1}^n w_i x_i < \Theta, \\ \mu(z - \Theta) & , \text{ für } \Theta \leq z \leq \Theta + \frac{1}{\mu}, \\ 1 & , \text{ sonst.} \end{cases}$$



Aktivierungsfunktionen

sigmoide Funktionen

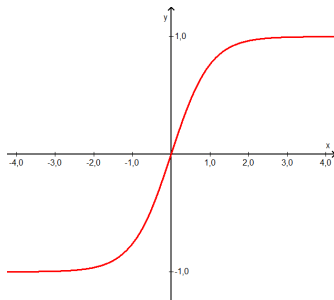
$$f_{a,\mu}(z) = \begin{cases} 1 - \exp(-\mu(z - \Theta)) & , \text{für } z = \sum_{i=1}^n w_i x_i \geq \Theta, \\ 0 & , \text{sonst.} \end{cases}$$



Aktivierungsfunktionen

Tangens hyperbolicus

$$f_a(z) = 1 - \frac{2}{e^{2z} + 1} \quad \text{mit } z = \sum_{i=1}^n w_i x_i$$



Künstliches Neuronales Netz

Definition

Ein (*künstliches*) *Neuronales Netz* ist ein Paar (N, V) , wobei N eine Menge von n Neuronen und V eine Menge gewichteter gerichteter Verbindungen ist. Eine gewichtete gerichtete Verbindung ist ein Tupel (k_i, k_j, w_{ij}) , wobei $k_i, k_j \in N$ und das Gewicht $w_{ij} \in \mathbb{R}$ sind. Dabei ist k_i das sendende und k_j das empfangende Element.

Neuronale Netze bestehen aus

- Eingabeschicht
- verborgene Schicht
- Ausgabeschicht

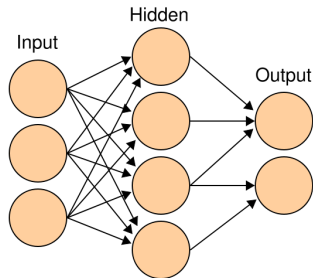


Abbildung: Ein einfaches mehrschichtiges Netz.

McCulloch-Pitts-Zelle

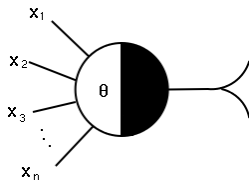


Abbildung: McCulloch–Pitts–Zelle.

- Zustände *true* = 1 und *false* = 0
- beliebig viele binäre Eingabeleitungen
- feuert sobald (ungewichtete) Summe der Eingabewerte Schwellenwert überschreitet
- eine aktive hemmende Eingabe reicht um Inaktivität zu verursachen

Mc-Culloch-Pitts-Zelle

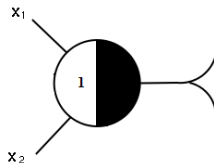
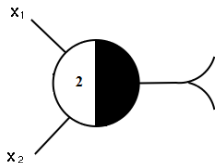


Abbildung: McCulloch–Pitts–Zellen zur Berechnung der AND und OR Funktion.

- Einzelne Zellen können schon einige logische Funktionen berechnen
- Zweischichtige Mc-Culloch-Pitts-Netze können beliebige logische Funktionen berechnen

Perzeptron

Erweiterung des Mc-Culloch-Pitts-Modells

- gewichtete Verbindungen
 - erregend, falls das Verbindungsgewicht größer Null
 - hemmend, falls das Verbindungsgewicht kleiner Null
- lernt durch Veränderung der Gewichte

Perzeptron

Erweiterung des Mc-Culloch-Pitts-Modells

- gewichtete Verbindungen
 - erregend, falls das Verbindungsgewicht größer Null
 - hemmend, falls das Verbindungsgewicht kleiner Null
- lernt durch Veränderung der Gewichte
- Netze können BIAS-Neuron enthalten, welches immer feuert und zu jedem Neuron dessen negativen Schwellenwert als Verbindungsgewicht hat (Schwellenwert kann durch Lernalgorithmus verändert werden)

Perzeptron

Erweiterung des Mc-Culloch-Pitts-Modells

- gewichtete Verbindungen
 - erregend, falls das Verbindungsgewicht größer Null
 - hemmend, falls das Verbindungsgewicht kleiner Null
- lernt durch Veränderung der Gewichte
- Netze können BIAS-Neuron enthalten, welches immer feuert und zu jedem Neuron dessen negativen Schwellenwert als Verbindungsgewicht hat (Schwellenwert kann durch Lernalgorithmus verändert werden)

Ein Perzeptron-Lernalgorithmus

- P die Menge, für die das Perzeptron eine 1 ausgeben soll
- N die Menge, für die das Perzeptron eine 0 ausgeben soll
- α heißt die Lernrate des Algorithmus

| | |
|----------------------|---|
| <i>Start:</i> | Der Gewichtevektor w_0 wird zufällig generiert Setze $t := 0$. |
| <i>Testen:</i> | Ein Punkt $x \in P \cup N$ wird zufällig gewählt. Falls $x \in P$ und $w_t x > 0$ gehe zu <i>Testen</i> Falls $x \in P$ und $w_t x \leq 0$ gehe zu <i>Addieren</i> Falls $x \in N$ und $w_t x < 0$ gehe zu <i>Testen</i> Falls $x \in N$ und $w_t x \geq 0$ gehe zu <i>Subtrahieren</i> |
| <i>Addieren:</i> | Setze $w_{t+1} = w_t + \alpha x$. Setze $t := t + 1$. Gehe zu <i>Testen</i> . |
| <i>Subtrahieren:</i> | Setze $w_{t+1} = w_t - \alpha x$. Setze $t := t + 1$. Gehe zu <i>Testen</i> . |

Perzeptron-Lernen

Konvergenzsatz von Rosenblatt

Ein Perzeptron kann jede Funktion, die es repräsentieren kann, in endlicher Zeit lernen.

- Mc-Culloch-Pitts-Zelle / Einfaches Perzeptron können XOR-Funktion nicht darstellen
- Voraussetzung: Lineare Trennbarkeit des Eingaberaums

Lineare Trennbarkeit

Eine Funktion heißt *linear trennbar*, wenn ihr n -dimensionaler Eingaberaum sich durch eine $(n - 1)$ -dimensionale Hyperebene in die Bereiche mit Funktionswert 0 bzw. 1 trennen lässt.

- Mehrschichtige Perzeptronen können den Eingaberaum in beliebige Polygone teilen.

XOR-Perzeptron

$$z = \text{XOR}(x, y)$$

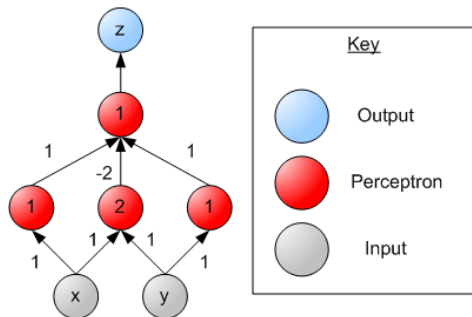


Abbildung: Ein dreischichtiges Perzeptron, welches die XOR-Funktion darstellt.

Aktivierungsfunktion

Wir verwenden die stückweise lineare Aktivierungsfunktion

$$F_a(z) = \begin{cases} 0 & , \text{ für } z < t, \\ a(z - t) & , \text{ für } t \leq z \leq t + \frac{1}{a}, \\ 1 & , \text{ sonst.} \end{cases}$$

mit

- Steigungsparameter a
- Schwellenwert t

Gekoppelte Differentialgleichungen

- x Aktivierungszustand des erregenden Neurons
- y Aktivierungszustand des hemmenden Neurons

$$x_{n+1} = F_a(w_{xx}x_n - w_{yx}y_n)$$

$$y_{n+1} = F_b(w_{xy}x_n - w_{yy}y_n)$$

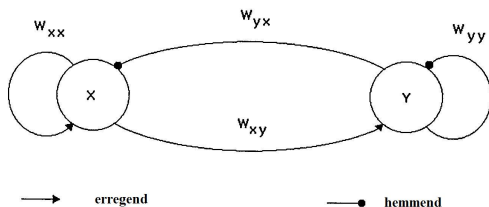


Abbildung: Das Paar erregendes (x) und hemmendes (y) Neuron.

Vereinfachungen

- w_{xx} und w_{xy} werden in a bzw. b eingerechnet
- w_{yx} und w_{yy} werden entsprechend neu berechnet und mit k bzw. k' bezeichnet
- neue Variablen $z_n = x_n - ky_n$ und $z'_n = x_n - k'y_n$

$$z_{n+1} = F_a(z_n) - kF_b(z'_n)$$

$$z'_{n+1} = F_a(z_n) - k'F_b(z'_n)$$

Im Folgenden betrachten wir die Fälle ($t = 0$)

① $k = k' = 1$

Vereinfachungen

- w_{xx} und w_{xy} werden in a bzw. b eingerechnet
- w_{yx} und w_{yy} werden entsprechend neu berechnet und mit k bzw. k' bezeichnet
- neue Variablen $z_n = x_n - ky_n$ und $z'_n = x_n - k'y_n$

$$z_{n+1} = F_a(z_n) - kF_b(z'_n)$$

$$z'_{n+1} = F_a(z_n) - k'F_b(z'_n)$$

Im Folgenden betrachten wir die Fälle ($t = 0$)

- 1 $k = k' = 1$
- 2 $k = k' \neq 1$

$$k = k' = 1$$

$$k = k' \neq 1$$

Vereinfachungen

- w_{xx} und w_{xy} werden in a bzw. b eingerechnet
- w_{yx} und w_{yy} werden entsprechend neu berechnet und mit k bzw. k' bezeichnet
- neue Variablen $z_n = x_n - ky_n$ und $z'_n = x_n - k'y_n$

$$z_{n+1} = F_a(z_n) - kF_b(z'_n)$$

$$z'_{n+1} = F_a(z_n) - k'F_b(z'_n)$$

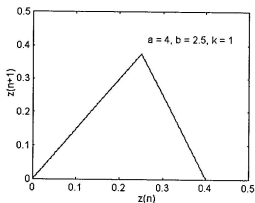
Im Folgenden betrachten wir die Fälle ($t = 0$)

- 1 $k = k' = 1$
- 2 $k = k' \neq 1$

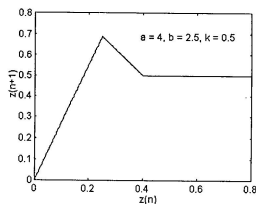
Dynamik für $k = k' = 1$

- $w_{yx} = w_{xx}$
- $w_{xy} = w_{yy}$
- $a > b$

$$z_n + 1 = F(z_n) = \begin{cases} (a - b)z_n & , \text{für } 0 \leq z_n \leq \frac{1}{a}, \\ 1 - bz_n & , \text{für } \frac{1}{a} < z_n \leq \frac{1}{b}, \\ 0 & , \text{sonst.} \end{cases}$$



(a)



(b)

Fixpunkte

$$z_n + 1 = \begin{cases} (a - b)z_n & , \text{für } 0 \leq z_n \leq \frac{1}{a}, \\ 1 - bz_n & , \text{für } \frac{1}{a} < z_n \leq \frac{1}{b}, \\ 0 & , \text{sonst.} \end{cases}$$

- 1 $z_1^* = 0$
 - existiert für alle Parameterwerte
 - stabil für $a - b < 1$

- 2 $z_2^* = \frac{1}{1+b}$
 - existiert für $a - b > 1$
 - stabil für $b < 1$

Fixpunkte

$$z_n + 1 = \begin{cases} (a - b)z_n & , \text{für } 0 \leq z_n \leq \frac{1}{a}, \\ 1 - bz_n & , \text{für } \frac{1}{a} < z_n \leq \frac{1}{b}, \\ 0 & , \text{sonst.} \end{cases}$$

- ① $z_1^* = 0$
 - existiert für alle Parameterwerte
 - stabil für $a - b < 1$

- ② $z_2^* = \frac{1}{1+b}$
 - existiert für $a - b > 1$
 - stabil für $b < 1$

Sonst chaotisches Verhalten bis der maximale Output $1 - \frac{b}{a}$ in den Bereich $Z > \frac{1}{b}$ iteriert.

Fixpunkte

$$z_n + 1 = \begin{cases} (a - b)z_n & , \text{ für } 0 \leq z_n \leq \frac{1}{a}, \\ 1 - bz_n & , \text{ für } \frac{1}{a} < z_n \leq \frac{1}{b}, \\ 0 & , \text{ sonst.} \end{cases}$$

- ① $z_1^* = 0$
 - existiert für alle Parameterwerte
 - stabil für $a - b < 1$

- ② $z_2^* = \frac{1}{1+b}$
 - existiert für $a - b > 1$
 - stabil für $b < 1$

Sonst chaotisches Verhalten bis der maximale Output $1 - \frac{b}{a}$ in den Bereich $Z > \frac{1}{b}$ iteriert.

Lyapunov-Exponent

$$z_n + 1 = \begin{cases} (a - b)z_n & , \text{für } 0 \leq z_n \leq \frac{1}{a}, \\ 1 - bz_n & , \text{für } \frac{1}{a} < z_n \leq \frac{1}{b}, \\ 0 & , \text{sonst.} \end{cases}$$

Der Lyapunov-Exponent ($\lambda = \lim_{n \rightarrow \infty} \frac{1}{n} \sum_{k=0}^{n-1} \ln |f'(z_n)|$) kann unter 2 Bedingungen analytisch berechnet werden

- 1 $\frac{b}{a} = 0,5$
 - $|f'(z_n)| = a - b = \frac{a}{2} = b$

Lyapunov-Exponent

$$z_n + 1 = \begin{cases} (a - b)z_n & , \text{für } 0 \leq z_n \leq \frac{1}{a}, \\ 1 - bz_n & , \text{für } \frac{1}{a} < z_n \leq \frac{1}{b}, \\ 0 & , \text{sonst.} \end{cases}$$

Der Lyapunov-Exponent ($\lambda = \lim_{n \rightarrow \infty} \frac{1}{n} \sum_{k=0}^{n-1} \ln |f'(z_n)|$) kann unter 2 Bedingungen analytisch berechnet werden

- 1 $\frac{b}{a} = 0,5$
 - $|f'(z_n)| = a - b = \frac{a}{2} = b$
 - $\lambda = \ln b$ für $0 < a < 4$

Lyapunov-Exponent

$$z_n + 1 = \begin{cases} (a - b)z_n & , \text{für } 0 \leq z_n \leq \frac{1}{a}, \\ 1 - bz_n & , \text{für } \frac{1}{a} < z_n \leq \frac{1}{b}, \\ 0 & , \text{sonst.} \end{cases}$$

Der Lyapunov-Exponent ($\lambda = \lim_{n \rightarrow \infty} \frac{1}{n} \sum_{k=0}^{n-1} \ln |f'(z_n)|$) kann unter 2 Bedingungen analytisch berechnet werden

- 1 $\frac{b}{a} = 0,5$
 - $|f'(z_n)| = a - b = \frac{a}{2} = b$
 - $\lambda = \ln b$ für $0 < a < 4$

- 2 $F\left(\frac{1}{a}\right) = 1 - \frac{b}{a} = \frac{1}{b}$.

Lyapunov-Exponent

$$z_n + 1 = \begin{cases} (a - b)z_n & , \text{für } 0 \leq z_n \leq \frac{1}{a}, \\ 1 - bz_n & , \text{für } \frac{1}{a} < z_n \leq \frac{1}{b}, \\ 0 & , \text{sonst.} \end{cases}$$

Der Lyapunov-Exponent ($\lambda = \lim_{n \rightarrow \infty} \frac{1}{n} \sum_{k=0}^{n-1} \ln |f'(z_k)|$) kann unter 2 Bedingungen analytisch berechnet werden

- 1 $\frac{b}{a} = 0,5$
 - $|f'(z_n)| = a - b = \frac{a}{2} = b$
 - $\lambda = \ln b$ für $0 < a < 4$

- 2 $F\left(\frac{1}{a}\right) = 1 - \frac{b}{a} = \frac{1}{b}$.
 - $\lambda = -\frac{b}{a} \ln\left(\frac{b}{a}\right) - \left(1 - \frac{b}{a}\right) \ln\left(1 - \frac{b}{a}\right)$

Lyapunov-Exponent

$$z_n + 1 = \begin{cases} (a - b)z_n & , \text{für } 0 \leq z_n \leq \frac{1}{a}, \\ 1 - bz_n & , \text{für } \frac{1}{a} < z_n \leq \frac{1}{b}, \\ 0 & , \text{sonst.} \end{cases}$$

Der Lyapunov-Exponent ($\lambda = \lim_{n \rightarrow \infty} \frac{1}{n} \sum_{k=0}^{n-1} \ln |f'(z_k)|$) kann unter 2 Bedingungen analytisch berechnet werden

- 1 $\frac{b}{a} = 0,5$
 - $|f'(z_n)| = a - b = \frac{a}{2} = b$
 - $\lambda = \ln b$ für $0 < a < 4$

- 2 $F\left(\frac{1}{a}\right) = 1 - \frac{b}{a} = \frac{1}{b}$.
 - $\lambda = -\frac{b}{a} \ln\left(\frac{b}{a}\right) - \left(1 - \frac{b}{a}\right) \ln\left(1 - \frac{b}{a}\right)$

$$k = k' = 1$$

$$k = k' \neq 1$$

Numerisch berechneter Lyapunov-Exponent

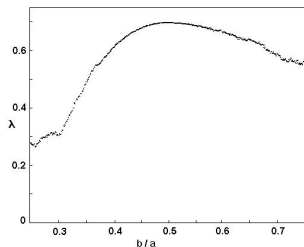


Abbildung: Lyapunov-Exponent für $k = k' = 1$ und $a = 4$.

- 1 scharfe Trennung zwischen Fixpunktverhalten und Chaos bei $\frac{b}{a} = 0,25$ und $0,75$
- 2 bei $\frac{b}{a} = 0,5$ wird $[0; \frac{1}{b}]$ vom chaotischen Orbit gleichmäßig besucht ($F(\frac{1}{a}) = \frac{1}{b}$)

$$k = k' = 1$$

$$k = k' \neq 1$$

Numerisch berechneter Lyapunov-Exponent

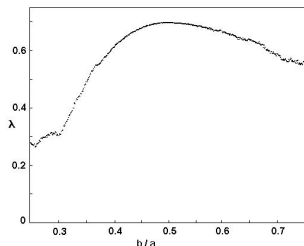


Abbildung: Lyapunov-Exponent für $k = k' = 1$ und $a = 4$.

- 1 scharfe Trennung zwischen Fixpunktverhalten und Chaos bei $\frac{b}{a} = 0,25$ und $0,75$
- 2 bei $\frac{b}{a} = 0,5$ wird $[0; \frac{1}{b}]$ vom chaotischen Orbit gleichmäßig besucht ($F(\frac{1}{a}) = \frac{1}{b}$)

$$k = k' = 1$$

$$k = k' \neq 1$$

Koexistenz von Chaos und Fixpunkt

Wenn $F(\frac{1}{a}) > \frac{1}{b}$ gilt, dann wird das Intervall $[0; \frac{1}{b}]$ geteilt in

- 1 Cantor-Menge mit chaotischem Verhalten
- 2 „Fluchtmenge“, die auf $z_1^* = 0$ abbildet

- $z_n \in [\frac{1}{b(a-b)}; \frac{b-1}{b^2}] \Rightarrow z_{n+2} = 0$

$$k = k' = 1$$

$$k = k' \neq 1$$

Koexistenz von Chaos und Fixpunkt

Wenn $F(\frac{1}{a}) > \frac{1}{b}$ gilt, dann wird das Intervall $[0; \frac{1}{b}]$ geteilt in

- 1 Cantor-Menge mit chaotischem Verhalten
- 2 „Fluchtmenge“, die auf $z_1^* = 0$ abbildet

- $z_n \in [\frac{1}{b(a-b)}; \frac{b-1}{b^2}] \Rightarrow z_{n+2} = 0$

- $z_n \in (0; \frac{1}{b(a-b)}) \cup (\frac{b-1}{b^2}; \frac{1}{b}) \Rightarrow z_{n+2} \neq 0$

Koexistenz von Chaos und Fixpunkt

Wenn $F(\frac{1}{a}) > \frac{1}{b}$ gilt, dann wird das Intervall $[0; \frac{1}{b}]$ geteilt in

- ① Cantor-Menge mit chaotischem Verhalten
- ② „Fluchtmenge“, die auf $z_1^* = 0$ abbildet

- $z_n \in [\frac{1}{b(a-b)}; \frac{b-1}{b^2}] \Rightarrow z_{n+2} = 0$
- $z_n \in (0; \frac{1}{b(a-b)}) \cup (\frac{b-1}{b^2}; \frac{1}{b}) \Rightarrow z_{n+2} \neq 0$
- Nach m Iterationen: 2^m Fragmente der invarianten chaotischen Teilmenge mit $\frac{m!}{r!(m-r)!}$ ($r = 0, 1, \dots, m$) Intervallen der Länge $(a-b)^r(1-b)^{r-m}$

Koexistenz von Chaos und Fixpunkt

Wenn $F(\frac{1}{a}) > \frac{1}{b}$ gilt, dann wird das Intervall $[0; \frac{1}{b}]$ geteilt in

- ① Cantor-Menge mit chaotischem Verhalten
- ② „Fluchtmenge“, die auf $z_1^* = 0$ abbildet

- $z_n \in [\frac{1}{b(a-b)}; \frac{b-1}{b^2}] \Rightarrow z_{n+2} = 0$
- $z_n \in (0; \frac{1}{b(a-b)}) \cup (\frac{b-1}{b^2}; \frac{1}{b}) \Rightarrow z_{n+2} \neq 0$
- Nach m Iterationen: 2^m Fragmente der invarianten chaotischen Teilmenge mit $\frac{m!}{r!(m-r)!}$ ($r = 0, 1, \dots, m$) Intervallen der Länge $(a-b)^r(1-b)^{r-m}$
- Für $\frac{b}{a} = 0,5$ haben alle Intervalle die gleiche Länge

Koexistenz von Chaos und Fixpunkt

Wenn $F(\frac{1}{a}) > \frac{1}{b}$ gilt, dann wird das Intervall $[0; \frac{1}{b}]$ geteilt in

- ① Cantor-Menge mit chaotischem Verhalten
- ② „Fluchtmenge“, die auf $z_1^* = 0$ abbildet

- $z_n \in [\frac{1}{b(a-b)}; \frac{b-1}{b^2}] \Rightarrow z_{n+2} = 0$
- $z_n \in (0; \frac{1}{b(a-b)}) \cup (\frac{b-1}{b^2}; \frac{1}{b}) \Rightarrow z_{n+2} \neq 0$
- Nach m Iterationen: 2^m Fragmente der invarianten chaotischen Teilmenge mit $\frac{m!}{r!(m-r)!}$ ($r = 0, 1, \dots, m$) Intervallen der Länge $(a-b)^r(1-b)^{r-m}$
- Für $\frac{b}{a} = 0,5$ haben alle Intervalle die gleiche Länge

$$k = k' = 1$$

$$k = k' \neq 1$$

Parameterraum

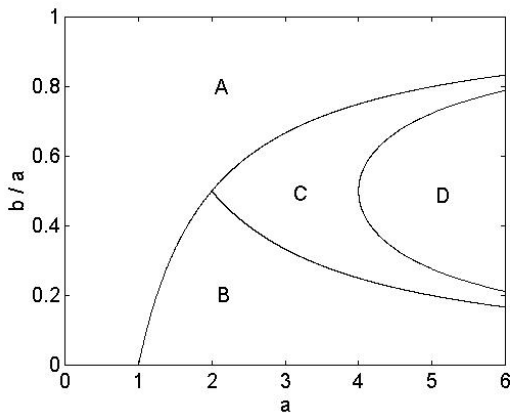
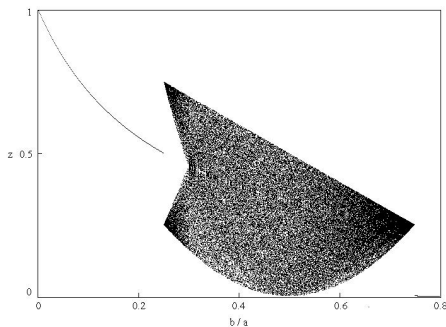


Abbildung: Der Parameterraum a gegen $\frac{b}{a}$ für $k = k' = 1$. Bereich A: $z_1^* = 0$ stabil, B: $z_2^* = \frac{1}{1+b}$ stabil, C: Chaos, D: z_1^* stabil zusammen mit invarianter chaotischer Nullmenge.

$$k = k' = 1$$

$$k = k' \neq 1$$

Verzweigungsdiagramm



- 1 $\frac{b}{a} < 0,25$ ($b < 1$) : z_2^* stabil
- 2 $\frac{b}{a} = 0,25$: z_2^* wird instabil und 2 Bänder mit chaotischem Verhalten treten auf

Abbildung: Verzweigungsdiagramm für $k = k' = 1$ und $a = 4$.

$$k = k' = 1$$

$$k = k' \neq 1$$

Verzweigungsdiagramm

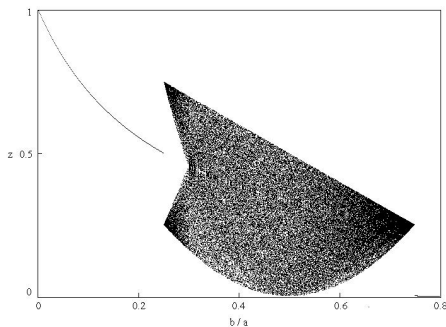


Abbildung: Verzweigungsdiagramm für $k = k' = 1$ und $a = 4$.

- 1 $\frac{b}{a} < 0,25$ ($b < 1$) : z_2^* stabil
- 2 $\frac{b}{a} = 0,25$: z_2^* wird instabil und 2 Bänder mit chaotischem Verhalten treten auf
- 3 $\frac{b}{a} \approx 0,2985$: Chaotische Bänder treffen instabilen z_2^* und verschmelzen zu einem chaotischen Band

$$k = k' = 1$$

$$k = k' \neq 1$$

Verzweigungsdiagramm

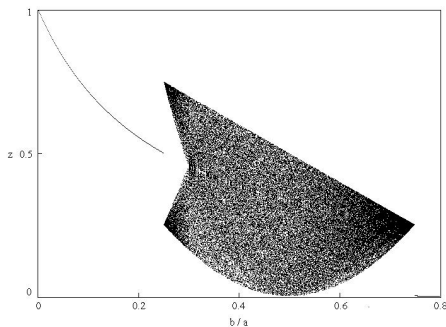


Abbildung: Verzweigungsdiagramm für $k = k' = 1$ und $a = 4$.

- ① $\frac{b}{a} < 0,25$ ($b < 1$): z_2^* stabil
- ② $\frac{b}{a} = 0,25$: z_2^* wird instabil und 2 Bänder mit chaotischem Verhalten treten auf
- ③ $\frac{b}{a} \approx 0,2985$: Chaotische Bänder treffen instabilen z_2^* und verschmelzen zu einem chaotischen Band
- ④ $\frac{b}{a} = 0,5$: Chaotischer Orbit besucht gleichmäßig $[0; \frac{1}{b}]$

$$k = k' = 1$$

$$k = k' \neq 1$$

Verzweigungsdiagramm

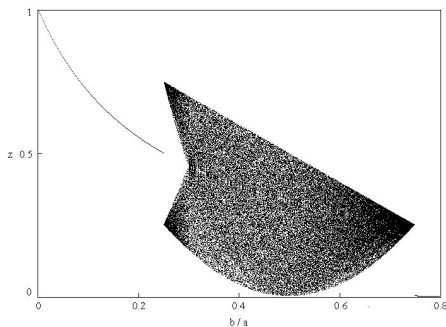


Abbildung: Verzweigungsdiagramm für $k = k' = 1$ und $a = 4$.

- 1 $\frac{b}{a} < 0,25$ ($b < 1$): z_2^* stabil
- 2 $\frac{b}{a} = 0,25$: z_2^* wird instabil und 2 Bänder mit chaotischem Verhalten treten auf
- 3 $\frac{b}{a} \approx 0,2985$: Chaotische Bänder treffen instabilen z_2^* und verschmelzen zu einem chaotischen Band
- 4 $\frac{b}{a} = 0,5$: Chaotischer Orbit besucht gleichmäßig $[0; \frac{1}{b}]$
- 5 $\frac{b}{a} = 0,75$: Chaotisches Band trifft instabilen z_2^* und wird zerstört, $z_1^* = 0$ wird stabil ($a - b \leq 1$)

$$k = k' = 1$$

$$k = k' \neq 1$$

Verzweigungsdiagramm

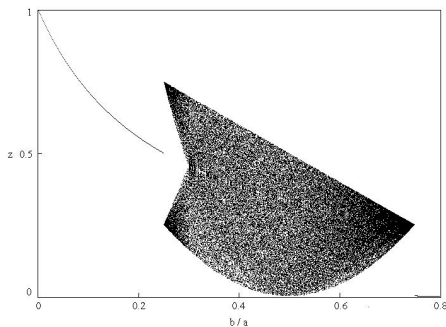


Abbildung: Verzweigungsdiagramm für $k = k' = 1$ und $a = 4$.

- 1 $\frac{b}{a} < 0,25$ ($b < 1$): z_2^* stabil
- 2 $\frac{b}{a} = 0,25$: z_2^* wird instabil und 2 Bänder mit chaotischem Verhalten treten auf
- 3 $\frac{b}{a} \approx 0,2985$: Chaotische Bänder treffen instabilen z_2^* und verschmelzen zu einem chaotischen Band
- 4 $\frac{b}{a} = 0,5$: Chaotischer Orbit besucht gleichmäßig $[0; \frac{1}{b}]$
- 5 $\frac{b}{a} = 0,75$: Chaotisches Band trifft instabilen z_2^* und wird zerstört, $z_1^* = 0$ wird stabil ($a - b \leq 1$)

Dynamik für $k = k' \neq 1$

- $\frac{w_{yx}}{w_{xx}} = \frac{w_{yy}}{w_{xy}} = k$
- $a > b$

$$z_{n+1} = F(z_n) = \begin{cases} (a - kb)z_n & , \text{ für } 0 \leq z_n \leq \frac{1}{a}, \\ 1 - kbz_n & , \text{ für } \frac{1}{a} < z_n \leq \frac{1}{b}, \\ 1 - k & , \text{ sonst.} \end{cases}$$

Der Hauptunterschied zum vorherigen Fall ist die Existenz von superstabilen Orbits der Periode $m \geq 2$, bedingt durch ein Gebiet der Steigung Null ($z > \frac{1}{b}$), welches einen Output ungleich Null produziert.

Fixpunkte

$$z_{n+1} = \begin{cases} (a - kb)z_n & , \text{ für } 0 \leq z_n \leq \frac{1}{a}, \\ 1 - kbz_n & , \text{ für } \frac{1}{a} < z_n \leq \frac{1}{b}, \\ 1 - k & , \text{ sonst.} \end{cases}$$

1 $z_1^* = 0$

- existiert für alle Parameterwerte
- stabil für $a - kb < 1$

2

$$z_2^* = \begin{cases} 1 - k & , \text{ für } 0 < k < 1 - \frac{1}{b}, \\ \frac{1}{1+kb} & , \text{ für } 1 - \frac{1}{b} < k < \frac{a-1}{b}. \end{cases}$$

- $z_2^* = 1 - k$ ist, falls er existiert, superstabil

Fixpunkte

$$z_{n+1} = \begin{cases} (a - kb)z_n & , \text{für } 0 \leq z_n \leq \frac{1}{a}, \\ 1 - kbz_n & , \text{für } \frac{1}{a} < z_n \leq \frac{1}{b}, \\ 1 - k & , \text{sonst.} \end{cases}$$

1 $z_1^* = 0$

- existiert für alle Parameterwerte
- stabil für $a - kb < 1$

2

$$z_2^* = \begin{cases} 1 - k & , \text{für } 0 < k < 1 - \frac{1}{b}, \\ \frac{1}{1+kb} & , \text{für } 1 - \frac{1}{b} < k < \frac{a-1}{b}. \end{cases}$$

- $z_2^* = 1 - k$ ist, falls er existiert, superstabil
- $z_2^* = \frac{1}{1+kb}$ stabil, falls $bk < 1$

Fixpunkte

$$z_{n+1} = \begin{cases} (a - kb)z_n & , \text{ für } 0 \leq z_n \leq \frac{1}{a}, \\ 1 - kbz_n & , \text{ für } \frac{1}{a} < z_n \leq \frac{1}{b}, \\ 1 - k & , \text{ sonst.} \end{cases}$$

① $z_1^* = 0$

- existiert für alle Parameterwerte
- stabil für $a - kb < 1$

②

$$z_2^* = \begin{cases} 1 - k & , \text{ für } 0 < k < 1 - \frac{1}{b}, \\ \frac{1}{1+kb} & , \text{ für } 1 - \frac{1}{b} < k < \frac{a-1}{b}. \end{cases}$$

- $z_2^* = 1 - k$ ist, falls er existiert, superstabil
- $z_2^* = \frac{1}{1+kb}$ stabil, falls $bk < 1$

Falls kein Fixpunkt stabil ist und kein $F(z) > \frac{1}{b}$ existiert, dann zeigt das System chaotisches Verhalten.

Fixpunkte

$$z_{n+1} = \begin{cases} (a - kb)z_n & , \text{ für } 0 \leq z_n \leq \frac{1}{a}, \\ 1 - kbz_n & , \text{ für } \frac{1}{a} < z_n \leq \frac{1}{b}, \\ 1 - k & , \text{ sonst.} \end{cases}$$

- 1 $z_1^* = 0$
 - existiert für alle Parameterwerte
 - stabil für $a - kb < 1$

- 2
$$z_2^* = \begin{cases} 1 - k & , \text{ für } 0 < k < 1 - \frac{1}{b}, \\ \frac{1}{1+kb} & , \text{ für } 1 - \frac{1}{b} < k < \frac{a-1}{b}. \end{cases}$$

- $z_2^* = 1 - k$ ist, falls er existiert, superstabil
- $z_2^* = \frac{1}{1+kb}$ stabil, falls $bk < 1$

Falls kein Fixpunkt stabil ist und kein $F(z) > \frac{1}{b}$ existiert, dann zeigt das System chaotisches Verhalten.

Parameterraum

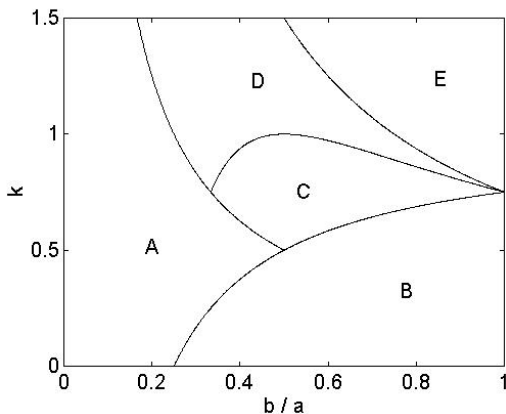
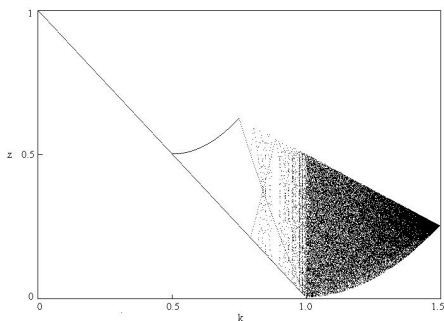


Abbildung: Der Parameterraum $\frac{b}{a}$ gegen k für $a = 4$. Bereich A: $z_2^* = \frac{1}{1+kb}$ stabil, B: $z_2^* = 1 - k$ stabil, C: superstabile periodische Orbits, D: Chaos, E: $z_1^* = 0$ stabil.

$$k = k' = 1$$

$$k = k' \neq 1$$

Verzweigungsdiagramm



- 1 $0 \leq k < 0,5$: $z_2^* = 1 - k$
($0 < k < \frac{1}{b}$) stabil
- 2 $k = 0,5$: $z_2^* = 1 - k$ wird instabil und superstabiler 2-periodischer Orbit entsteht

Abbildung: Verzweigungsdiagramm für den Parameter $k = k' \neq 1$ bei $a = 4$ und $b = 2$.

$$k = k' = 1$$

$$k = k' \neq 1$$

Verzweigungsdiagramm

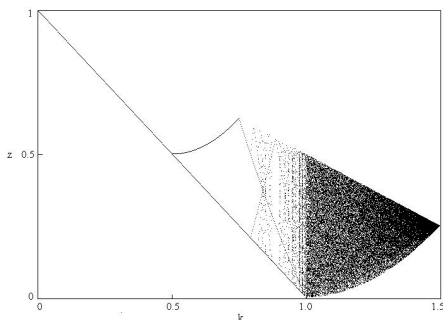


Abbildung: Verzweigungsdiagramm für den Parameter $k = k' \neq 1$ bei $a = 4$ und $b = 2$.

- 1 $0 \leq k < 0,5$: $z_2^* = 1 - k$
($0 < k < \frac{1}{b}$) stabil
- 2 $k = 0,5$: $z_2^* = 1 - k$ wird instabil und superstabiler 2-periodischer Orbit entsteht
- 3 mit wachsendem k entstehen periodische Orbits aller Längen kompliziertem Muster folgend

$$k = k' = 1$$

$$k = k' \neq 1$$

Verzweigungsdiagramm

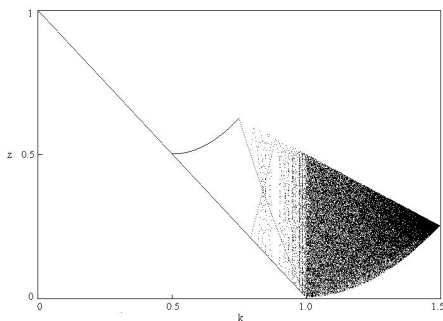


Abbildung: Verzweigungsdiagramm für den Parameter $k = k' \neq 1$ bei $a = 4$ und $b = 2$.

- ① $0 \leq k < 0,5$: $z_2^* = 1 - k$
($0 < k < \frac{1}{b}$) stabil
- ② $k = 0,5$: $z_2^* = 1 - k$ wird instabil und superstabiler 2-periodischer Orbit entsteht
- ③ mit wachsendem k entstehen periodische Orbits aller Längen kompliziertem Muster folgend
- ④ bis bei $k = 1$ alle periodischen Orbits instabil werden und das System chaotisch wird

$$k = k' = 1$$

$$k = k' \neq 1$$

Verzweigungsdiagramm

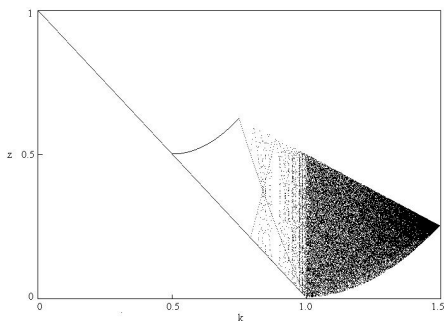


Abbildung: Verzweigungsdiagramm für den Parameter $k = k' \neq 1$ bei $a = 4$ und $b = 2$.

- 1 $0 \leq k < 0,5$: $z_2^* = 1 - k$
($0 < k < \frac{1}{b}$) stabil
- 2 $k = 0,5$: $z_2^* = 1 - k$ wird instabil und superstabiler 2-periodischer Orbit entsteht
- 3 mit wachsendem k entstehen periodische Orbits aller Längen kompliziertem Muster folgend
- 4 bis bei $k = 1$ alle periodischen Orbits instabil werden und das System chaotisch wird
- 5 $k = 1,5$: Chaotisches Verhalten endet und $z_1^* = 0$ wird stabil ($a - kb < 1$)

$$k = k' = 1$$

$$k = k' \neq 1$$

Verzweigungsdiagramm

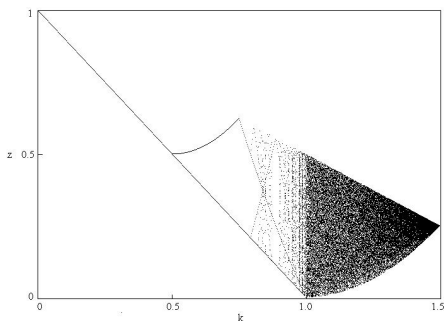


Abbildung: Verzweigungsdiagramm für den Parameter $k = k' \neq 1$ bei $a = 4$ und $b = 2$.

- 1 $0 \leq k < 0,5$: $z_2^* = 1 - k$
($0 < k < \frac{1}{b}$) stabil
- 2 $k = 0,5$: $z_2^* = 1 - k$ wird instabil und superstabiler 2-periodischer Orbit entsteht
- 3 mit wachsendem k entstehen periodische Orbits aller Längen kompliziertem Muster folgend
- 4 bis bei $k = 1$ alle periodischen Orbits instabil werden und das System chaotisch wird
- 5 $k = 1,5$: Chaotisches Verhalten endet und $z_1^* = 0$ wird stabil ($a - kb < 1$)

Dynamisches System

In diesem Abschnitt verwenden wir die sigmoide Aktivierungsfunktion

$$F_{\mu}(z) = \begin{cases} 1 - \exp(-\mu z) & , \text{ für } z \geq 0, \\ 0 & , \text{ sonst.} \end{cases}$$

Mit den Bezeichnungen aus dem vorherigen Abschnitt erhalten wir die gekoppelten Differentialgleichungen

$$x_{n+1} = F_a(w_{xx}x_n - w_{yx}y_n + I_n)$$

$$y_{n+1} = F_b(w_{xy}x_n - w_{yy}y_n + I'_n)$$

wobei $F_{a,b}$ sigmoide Aktivierungsfunktionen und I, I' externe Reize sind.

Dynamisches System

In diesem Abschnitt verwenden wir die sigmoide Aktivierungsfunktion

$$F_{\mu}(z) = \begin{cases} 1 - \exp(-\mu z) & , \text{ für } z \geq 0, \\ 0 & , \text{ sonst.} \end{cases}$$

Mit den Bezeichnungen aus dem vorherigen Abschnitt erhalten wir die gekoppelten Differentialgleichungen

$$x_{n+1} = F_a(w_{xx}x_n - w_{yx}y_n + I_n)$$

$$y_{n+1} = F_b(w_{xy}x_n - w_{yy}y_n + I'_n)$$

wobei $F_{a,b}$ sigmoide Aktivierungsfunktionen und I, I' externe Reize sind.

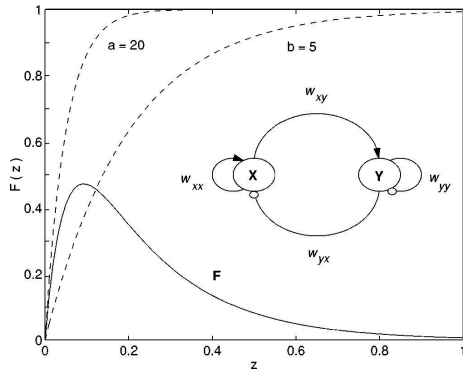
Vereinfachungen

- w_{xx} und w_{xy} werden wieder in a bzw. b eingerechnet
- w_{yx} und w_{yy} werden entsprechend neu berechnet und mit k bzw. k' bezeichnet
- neue Variablen $z_n = x_n - ky_n$ und $z'_n = x_n - k'y_n$
- $I_n = I'_n = I$ konstanter externer Reiz
- $k = k' = 1$

$$z_{n+1} = F_a(z_n + I) - F_b(z_n + I)$$

Trotz Einfachheit des Modells, zeigt es breites Spektrum an dynamischem Verhalten (Fixpunkte, periodische Orbits, Chaos).

Dynamik eines autonomen Neuronenpaares



$$z_{n+1} = F(z_n) = F_a(z_n) - F_b(z_n)$$

Das Verhalten des Systems ohne externen Reiz ($I = 0$) eines einzelnen Neuronenpaares zeigt bei Variation der Parameter a und b Übergänge von Fixpunkt- zu periodischem und chaotischem Verhalten.

Abbildung: Das Dynamische System mit sigmoider Aktivierungsfunktion.

Dynamik eines autonomen Neuronenpaares

$$z_{n+1} = F(z_n) = F_a(z_n) - F_b(z_n)$$

Die Fixpunkte der Abbildung sind

1 $z_1^* = 0$

- stabil für $F'(0) = a - b < 1$

2 z_2^*

- löst Gleichung $z = \exp(-bz) - \exp(-az)$

Dynamik eines autonomen Neuronenpaares

$$z_{n+1} = F(z_n) = F_a(z_n) - F_b(z_n)$$

Die Fixpunkte der Abbildung sind

- 1 $z_1^* = 0$
 - stabil für $F'(0) = a - b < 1$
- 2 z_2^*
 - löst Gleichung $z = \exp(-bz) - \exp(-az)$

Mit wachsendem a treten folgende Effekte auf

- z_1^* wird instabil und z_2^* stabil

Dynamik eines autonomen Neuronenpaares

$$z_{n+1} = F(z_n) = F_a(z_n) - F_b(z_n)$$

Die Fixpunkte der Abbildung sind

- 1 $z_1^* = 0$
 - stabil für $F'(0) = a - b < 1$
- 2 z_2^*
 - löst Gleichung $z = \exp(-bz) - \exp(-az)$

Mit wachsendem a treten folgende Effekte auf

- z_1^* wird instabil und z_2^* stabil
- z_2^* wird instabil und Orbit der Periode 2 tritt auf

Dynamik eines autonomen Neuronenpaares

$$z_{n+1} = F(z_n) = F_a(z_n) - F_b(z_n)$$

Die Fixpunkte der Abbildung sind

- 1 $z_1^* = 0$
 - stabil für $F'(0) = a - b < 1$
- 2 z_2^*
 - löst Gleichung $z = \exp(-bz) - \exp(-az)$

Mit wachsendem a treten folgende Effekte auf

- z_1^* wird instabil und z_2^* stabil
- z_2^* wird instabil und Orbit der Periode 2 tritt auf
- Periodenverdoppelungen

Dynamik eines autonomen Neuronenpaares

$$z_{n+1} = F(z_n) = F_a(z_n) - F_b(z_n)$$

Die Fixpunkte der Abbildung sind

- 1 $z_1^* = 0$
 - stabil für $F'(0) = a - b < 1$
- 2 z_2^*
 - löst Gleichung $z = \exp(-bz) - \exp(-az)$

Mit wachsendem a treten folgende Effekte auf

- z_1^* wird instabil und z_2^* stabil
- z_2^* wird instabil und Orbit der Periode 2 tritt auf
- Periodenverdoppelungen
- Chaos

Dynamik eines autonomen Neuronenpaares

$$z_{n+1} = F(z_n) = F_a(z_n) - F_b(z_n)$$

Die Fixpunkte der Abbildung sind

- 1 $z_1^* = 0$
 - stabil für $F'(0) = a - b < 1$
- 2 z_2^*
 - löst Gleichung $z = \exp(-bz) - \exp(-az)$

Mit wachsendem a treten folgende Effekte auf

- z_1^* wird instabil und z_2^* stabil
- z_2^* wird instabil und Orbit der Periode 2 tritt auf
- Periodenverdoppelungen
- Chaos

Reaktion auf konstanten externen Reiz

Ein externer Input $I > 0$ verschiebt die Abbildung um den Betrag von I nach links.

$$z_{n+1} = \exp(-b(z + I)) - \exp(-a(z + I))$$

- z_1^* kein Fixpunkt mehr

Reaktion auf konstanten externen Reiz

Ein externer Input $I > 0$ verschiebt die Abbildung um den Betrag von I nach links.

$$z_{n+1} = \exp(-b(z + I)) - \exp(-a(z + I))$$

- z_1^* kein Fixpunkt mehr
- $z_2^* = z^*$ löst Gleichung $z = \exp[-b(z + I)] - \exp[-a(z + I)]$

Reaktion auf konstanten externen Reiz

Ein externer Input $I > 0$ verschiebt die Abbildung um den Betrag von I nach links.

$$z_{n+1} = \exp(-b(z + I)) - \exp(-a(z + I))$$

- z_1^* kein Fixpunkt mehr
- $z_2^* = z^*$ löst Gleichung $z = \exp[-b(z + I)] - \exp[-a(z + I)]$
- Steigung bei z^* sinkt mit wachsendem I

Reaktion auf konstanten externen Reiz

Ein externer Input $I > 0$ verschiebt die Abbildung um den Betrag von I nach links.

$$z_{n+1} = \exp(-b(z + I)) - \exp(-a(z + I))$$

- z_1^* kein Fixpunkt mehr
- $z_2^* = z^*$ löst Gleichung $z = \exp[-b(z + I)] - \exp[-a(z + I)]$
- Steigung bei z^* sinkt mit wachsendem I
- Chaos \rightarrow periodische Orbits \rightarrow Periodenhalbierungen \rightarrow Fixpunktverhalten

Reaktion auf konstanten externen Reiz

Ein externer Input $I > 0$ verschiebt die Abbildung um den Betrag von I nach links.

$$z_{n+1} = \exp(-b(z + I)) - \exp(-a(z + I))$$

- z_1^* kein Fixpunkt mehr
- $z_2^* = z^*$ löst Gleichung $z = \exp[-b(z + I)] - \exp[-a(z + I)]$
- Steigung bei z^* sinkt mit wachsendem I
- Chaos \rightarrow periodische Orbits \rightarrow Periodenhalbierungen \rightarrow Fixpunktverhalten

Kritischer Input

- $z^* = \exp[-b(z^* + I)] - \exp[-a(z^* + I)]$
- $F'(z) = -b \exp[-b(z + I)] + a \exp[-a(z + I)]$

Kritischer Input

- $z^* = \exp[-b(z^* + I)] - \exp[-a(z^* + I)]$
- $F'(z) = -b \exp[-b(z + I)] + a \exp[-a(z + I)]$
- Prüfe, für welche I gilt $F'(z^*) > -1$

Kritischer Input

- $z^* = \exp[-b(z^* + I)] - \exp[-a(z^* + I)]$
- $F'(z) = -b \exp[-b(z + I)] + a \exp[-a(z + I)]$
- Prüfe, für welche I gilt $F'(z^*) > -1$

Der kritische Wert für die Stabilität ist $F'(z^*) = -1$:

$$\begin{aligned}
 -1 &= -b \exp[-b(z^* + I_c)] + a \exp[-a(z^* + I_c)] \\
 &= -bz^* - b \exp[-a(z^* + I_c)] + a \exp[-a(z^* + I_c)] \\
 &= -bz^* + (a - b) \exp[-a(z^* + I_c)]
 \end{aligned}$$

Kritischer Input

- $z^* = \exp[-b(z^* + I)] - \exp[-a(z^* + I)]$
- $F'(z) = -b \exp[-b(z + I)] + a \exp[-a(z + I)]$
- Prüfe, für welche I gilt $F'(z^*) > -1$

Der kritische Wert für die Stabilität ist $F'(z^*) = -1$:

$$\begin{aligned}
 -1 &= -b \exp[-b(z^* + I_c)] + a \exp[-a(z^* + I_c)] \\
 &= -bz^* - b \exp[-a(z^* + I_c)] + a \exp[-a(z^* + I_c)] \\
 &= -bz^* + (a - b) \exp[-a(z^* + I_c)]
 \end{aligned}$$

- z^* stabil für $I > I_c$

Kritischer Input

- $z^* = \exp[-b(z^* + I)] - \exp[-a(z^* + I)]$
- $F'(z) = -b \exp[-b(z + I)] + a \exp[-a(z + I)]$
- Prüfe, für welche I gilt $F'(z^*) > -1$

Der kritische Wert für die Stabilität ist $F'(z^*) = -1$:

$$\begin{aligned}
 -1 &= -b \exp[-b(z^* + I_c)] + a \exp[-a(z^* + I_c)] \\
 &= -bz^* - b \exp[-a(z^* + I_c)] + a \exp[-a(z^* + I_c)] \\
 &= -bz^* + (a - b) \exp[-a(z^* + I_c)]
 \end{aligned}$$

- z^* stabil für $I > I_c$

$$I_c = \frac{1 - \frac{2}{\mu}}{(\mu a)^{\frac{1}{\mu}} - \frac{a}{\mu}} + \frac{1}{\mu a} [\ln(\mu a) - 1] \quad \text{mit } \mu = \frac{b}{a}$$

Kritischer Input

- $z^* = \exp[-b(z^* + I)] - \exp[-a(z^* + I)]$
- $F'(z) = -b \exp[-b(z + I)] + a \exp[-a(z + I)]$
- Prüfe, für welche I gilt $F'(z^*) > -1$

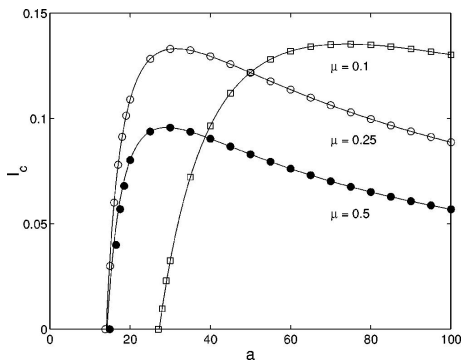
Der kritische Wert für die Stabilität ist $F'(z^*) = -1$:

$$\begin{aligned}
 -1 &= -b \exp[-b(z^* + I_c)] + a \exp[-a(z^* + I_c)] \\
 &= -bz^* - b \exp[-a(z^* + I_c)] + a \exp[-a(z^* + I_c)] \\
 &= -bz^* + (a - b) \exp[-a(z^* + I_c)]
 \end{aligned}$$

- z^* stabil für $I > I_c$

$$I_c = \frac{1 - \frac{2}{\mu}}{(\mu a)^{\frac{1}{\mu}} - \frac{a}{\mu}} + \frac{1}{\mu a} [\ln(\mu a) - 1] \quad \text{mit } \mu = \frac{b}{a}$$

Parameterwahl nach Aufgabenstellung



$$I_c = \frac{1 - \frac{2}{\mu}}{(\mu a)^{\frac{1}{\mu}} - \frac{a}{\mu}} + \frac{1}{\mu a} [\ln(\mu a) - 1]$$

Segmentierung von Regionen der Intensitäten $I_1 < I_2$:

- μ festhalten, a so wählen, dass gilt $I_1 < I_c < I_2$

Abbildung: Kritischer Wert (I_c) bei dem der Übergang von periodischem zu Fixpunktverhalten stattfindet. Die Kreise und Quadrate sind Werte, welche numerisch berechnet wurden.

Parameterwahl nach Aufgabenstellung

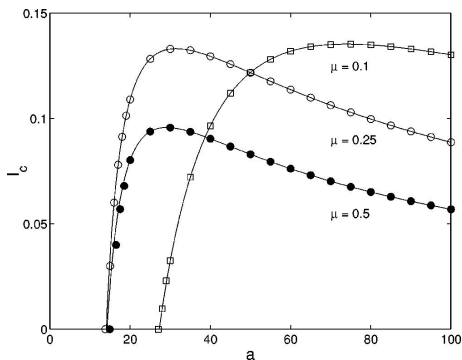


Abbildung: Kritischer Wert (I_c) bei dem der Übergang von periodischem zu Fixpunktverhalten stattfindet. Die Kreise und Quadrate sind Werte, welche numerisch berechnet wurden.

$$I_c = \frac{1 - \frac{2}{\mu}}{(\mu a)^{\frac{1}{\mu}} - \frac{a}{\mu}} + \frac{1}{\mu a} [\ln(\mu a) - 1]$$

Segmentierung von Regionen der Intensitäten $I_1 < I_2$:

- μ festhalten, a so wählen, dass gilt $I_1 < I_c < I_2$
- Elemente mit Input I_1 zeigen periodisches Verhalten

Parameterwahl nach Aufgabenstellung

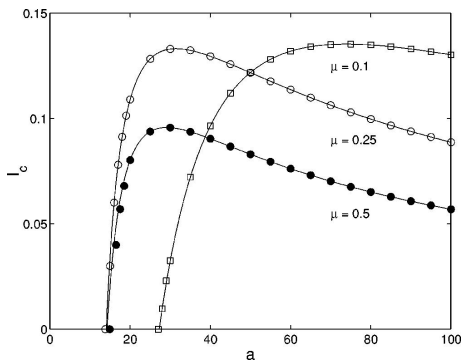


Abbildung: Kritischer Wert (I_c) bei dem der Übergang von periodischem zu Fixpunktverhalten stattfindet. Die Kreise und Quadrate sind Werte, welche numerisch berechnet wurden.

$$I_c = \frac{1 - \frac{2}{\mu}}{(\mu a)^{\frac{1}{\mu}} - \frac{a}{\mu}} + \frac{1}{\mu a} [\ln(\mu a) - 1]$$

Segmentierung von Regionen der Intensitäten $I_1 < I_2$:

- μ festhalten, a so wählen, dass gilt $I_1 < I_c < I_2$
- Elemente mit Input I_1 zeigen periodisches Verhalten
- Elemente mit Input I_2 zeigen Fixpunktverhalten

Parameterwahl nach Aufgabenstellung

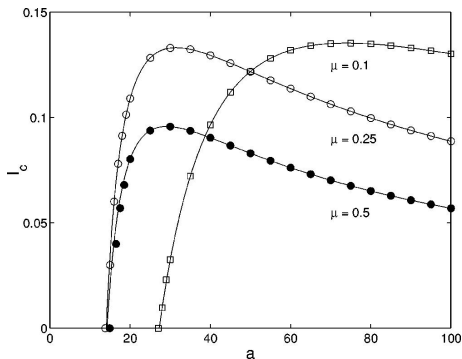


Abbildung: Kritischer Wert (I_c) bei dem der Übergang von periodischem zu Fixpunktverhalten stattfindet. Die Kreise und Quadrate sind Werte, welche numerisch berechnet wurden.

$$I_c = \frac{1 - \frac{2}{\mu}}{(\mu a)^{\frac{1}{\mu}} - \frac{a}{\mu}} + \frac{1}{\mu a} [\ln(\mu a) - 1]$$

Segmentierung von Regionen der Intensitäten $I_1 < I_2$:

- μ festhalten, a so wählen, dass gilt $I_1 < I_c < I_2$
- Elemente mit Input I_1 zeigen periodisches Verhalten
- Elemente mit Input I_2 zeigen Fixpunktverhalten

Verknüpfung von Neuronen

- Verknüpfungen mit benachbarten Neuronen gleicht Unstetigkeiten in Segmentierung aus
- Betrachte diskrete Approximationen von kreisförmigen Umgebungen der Radien R_{ex} und R_{in} ($R = 1, 2$)

Verknüpfung von Neuronen

- Verknüpfungen mit benachbarten Neuronen gleicht Unstetigkeiten in Segmentierung aus
- Betrachte diskrete Approximationen von kreisförmigen Umgebungen der Radien R_{ex} und R_{in} ($R = 1, 2$)

Für $R_{ex} = R_{in}$ gilt für das i -te Neuronenpaar

$$z_{n+1}^i = F\left(z_n^i + \frac{1}{|R_{ex}|} \sum_{j \in R_{ex}} z_n^j + I\right)$$

Verknüpfung von Neuronen

- Verknüpfungen mit benachbarten Neuronen gleicht Unstetigkeiten in Segmentierung aus
- Betrachte diskrete Approximationen von kreisförmigen Umgebungen der Radien R_{ex} und R_{in} ($R = 1, 2$)

Für $R_{ex} = R_{in}$ gilt für das i -te Neuronenpaar

$$z_{n+1}^i = F\left(z_n^i + \frac{1}{|R_{ex}|} \sum_{j \in R_{ex}} z_n^j + I\right)$$

- Angenommen i -tes Neuronenpaar erhält Input I , umgebende Elemente I' mit ($I < I_c < I'$)

Verknüpfung von Neuronen

- Verknüpfungen mit benachbarten Neuronen gleicht Unstetigkeiten in Segmentierung aus
- Betrachte diskrete Approximationen von kreisförmigen Umgebungen der Radien R_{ex} und R_{in} ($R = 1, 2$)

Für $R_{ex} = R_{in}$ gilt für das i -te Neuronenpaar

$$z_{n+1}^i = F\left(z_n^i + \frac{1}{|R_{ex}|} \sum_{j \in R_{ex}} z_n^j + I\right)$$

- Angenommen i -tes Neuronenpaar erhält Input I , umgebende Elemente I' mit ($I < I_c < I'$)
- Ohne Verknüpfungen zeigt i -tes Neuronenpaar periodisches Verhalten, umgebende Elemente Fixpunktverhalten

Verknüpfung von Neuronen

- Verknüpfungen mit benachbarten Neuronen gleicht Unstetigkeiten in Segmentierung aus
- Betrachte diskrete Approximationen von kreisförmigen Umgebungen der Radien R_{ex} und R_{in} ($R = 1, 2$)

Für $R_{ex} = R_{in}$ gilt für das i -te Neuronenpaar

$$z_{n+1}^i = F\left(z_n^i + \frac{1}{|R_{ex}|} \sum_{j \in R_{ex}} z_n^j + I\right)$$

- Angenommen i -tes Neuronenpaar erhält Input I , umgebende Elemente I' mit ($I < I_c < I'$)
- Ohne Verknüpfungen zeigt i -tes Neuronenpaar periodisches Verhalten, umgebende Elemente Fixpunktverhalten

Verknüpfung von Neuronen

Betrachte schrittweise Änderung der Aktivität des i -ten Paares

$$\begin{aligned}\delta z_n^i &= z_{n+1}^i - z_n^i \\ &= F\left(z_n^i + \frac{1}{|R_{\text{ex}}|} \sum_{j \in R_{\text{ex}}} z_n^j + I\right) - F\left(z_{n-1}^i + \frac{1}{|R_{\text{ex}}|} \sum_{j \in R_{\text{ex}}} z_{n-1}^j + I\right)\end{aligned}$$

- Alle Nachbarelemente sind gegen Fixpunkt konvergiert

Verknüpfung von Neuronen

Betrachte schrittweise Änderung der Aktivität des i -ten Paares

$$\begin{aligned}\delta z_n^i &= z_{n+1}^i - z_n^i \\ &= F\left(z_n^i + \frac{1}{|R_{\text{ex}}|} \sum_{j \in R_{\text{ex}}} z_n^j + I\right) - F\left(z_{n-1}^i + \frac{1}{|R_{\text{ex}}|} \sum_{j \in R_{\text{ex}}} z_{n-1}^j + I\right)\end{aligned}$$

- Alle Nachbarelemente sind gegen Fixpunkt konvergiert
- Annahme: $|z_n^i - z^*| \ll 1$

Verknüpfung von Neuronen

Betrachte schrittweise Änderung der Aktivität des i -ten Paares

$$\begin{aligned}\delta z_n^i &= z_{n+1}^i - z_n^i \\ &= F\left(z_n^i + \frac{1}{|R_{\text{ex}}|} \sum_{j \in R_{\text{ex}}} z_n^j + I\right) - F\left(z_{n-1}^i + \frac{1}{|R_{\text{ex}}|} \sum_{j \in R_{\text{ex}}} z_{n-1}^j + I\right)\end{aligned}$$

- Alle Nachbarelemente sind gegen Fixpunkt konvergiert
- Annahme: $|z_n^i - z^*| \ll 1$
- Betrachte Linearisierung der Gleichung am Punkt $z = 2z^* + I$

Verknüpfung von Neuronen

Betrachte schrittweise Änderung der Aktivität des i -ten Paares

$$\begin{aligned}\delta z_n^i &= z_{n+1}^i - z_n^i \\ &= F\left(z_n^i + \frac{1}{|R_{\text{ex}}|} \sum_{j \in R_{\text{ex}}} z_n^j + I\right) - F\left(z_{n-1}^i + \frac{1}{|R_{\text{ex}}|} \sum_{j \in R_{\text{ex}}} z_{n-1}^j + I\right)\end{aligned}$$

- Alle Nachbarelemente sind gegen Fixpunkt konvergiert
- Annahme: $|z_n^i - z^*| \ll 1$
- Betrachte Linearisierung der Gleichung am Punkt $z = 2z^* + I$

$$\delta z_n^i = \left(\frac{\partial F}{\partial z}\right)_{z=2z^*+I} \delta z_{n-1}^i.$$

Verknüpfung von Neuronen

Betrachte schrittweise Änderung der Aktivität des i -ten Paares

$$\begin{aligned}\delta z_n^i &= z_{n+1}^i - z_n^i \\ &= F\left(z_n^i + \frac{1}{|R_{\text{ex}}|} \sum_{j \in R_{\text{ex}}} z_n^j + I\right) - F\left(z_{n-1}^i + \frac{1}{|R_{\text{ex}}|} \sum_{j \in R_{\text{ex}}} z_{n-1}^j + I\right)\end{aligned}$$

- Alle Nachbarelemente sind gegen Fixpunkt konvergiert
- Annahme: $|z_n^i - z^*| \ll 1$
- Betrachte Linearisierung der Gleichung am Punkt $z = 2z^* + I$

$$\delta z_n^i = \left(\frac{\partial F}{\partial z}\right)_{z=2z^*+I} \delta z_{n-1}^i.$$

- Voraussetzung: $I_c - I < z^*$ und $-1 < \left(\frac{\partial F}{\partial z}\right)_{z=2z^*+I} < 0$

Verknüpfung von Neuronen

Betrachte schrittweise Änderung der Aktivität des i -ten Paares

$$\begin{aligned}\delta z_n^i &= z_{n+1}^i - z_n^i \\ &= F\left(z_n^i + \frac{1}{|R_{\text{ex}}|} \sum_{j \in R_{\text{ex}}} z_n^j + I\right) - F\left(z_{n-1}^i + \frac{1}{|R_{\text{ex}}|} \sum_{j \in R_{\text{ex}}} z_{n-1}^j + I\right)\end{aligned}$$

- Alle Nachbarelemente sind gegen Fixpunkt konvergiert
- Annahme: $|z_n^i - z^*| \ll 1$
- Betrachte Linearisierung der Gleichung am Punkt $z = 2z^* + I$

$$\delta z_n^i = \left(\frac{\partial F}{\partial z}\right)_{z=2z^*+I} \delta z_{n-1}^i.$$

- Voraussetzung: $I_c - I < z^*$ und $-1 < \left(\frac{\partial F}{\partial z}\right)_{z=2z^*+I} < 0$
- $\delta z_n^i \rightarrow 0$ für $n \rightarrow \infty$

Verknüpfung von Neuronen

Betrachte schrittweise Änderung der Aktivität des i -ten Paares

$$\begin{aligned}\delta z_n^i &= z_{n+1}^i - z_n^i \\ &= F\left(z_n^i + \frac{1}{|R_{\text{ex}}|} \sum_{j \in R_{\text{ex}}} z_n^j + I\right) - F\left(z_{n-1}^i + \frac{1}{|R_{\text{ex}}|} \sum_{j \in R_{\text{ex}}} z_{n-1}^j + I\right)\end{aligned}$$

- Alle Nachbarelemente sind gegen Fixpunkt konvergiert
- Annahme: $|z_n^i - z^*| \ll 1$
- Betrachte Linearisierung der Gleichung am Punkt $z = 2z^* + I$

$$\delta z_n^i = \left(\frac{\partial F}{\partial z}\right)_{z=2z^*+I} \delta z_{n-1}^i.$$

- Voraussetzung: $I_c - I < z^*$ und $-1 < \left(\frac{\partial F}{\partial z}\right)_{z=2z^*+I} < 0$
- $\delta z_n^i \rightarrow 0$ für $n \rightarrow \infty$

Auswirkung der Radien

Dynamik eines autonomen Netzwerks gekoppelter Neuronen im Allgemeinen

$$z_{n+1} = F\left(z_n + \frac{1}{|R_{ex}|} \sum_{i \in R_{ex}} x_n^i - \frac{1}{|R_{in}|} \sum_{i \in R_{in}} y_n^i\right)$$

umgeformt zu $(x_n^i - y_n^i = z_n^i)$

$$z_{n+1} = F\left(z_n + \frac{1}{|R_{ex}|} \sum_{i \in R_{ex}} z_n^i + \frac{1}{|R_{ex}|} \sum_{i \in R_{ex}} y_n^i - \frac{1}{|R_{in}|} \sum_{i \in R_{in}} y_n^i\right)$$

Auswirkung der Radien

Dynamik eines autonomen Netzwerks gekoppelter Neuronen im Allgemeinen

$$z_{n+1} = F\left(z_n + \frac{1}{|R_{ex}|} \sum_{i \in R_{ex}} x_n^i - \frac{1}{|R_{in}|} \sum_{i \in R_{in}} y_n^i\right)$$

umgeformt zu $(x_n^i - y_n^i = z_n^i)$

$$z_{n+1} = F\left(z_n + \frac{1}{|R_{ex}|} \sum_{i \in R_{ex}} z_n^i + \frac{1}{|R_{ex}|} \sum_{i \in R_{ex}} y_n^i - \frac{1}{|R_{in}|} \sum_{i \in R_{in}} y_n^i\right)$$

Für $R_{ex} = R_{in}$ ergibt sich die oben schon verwendete Form

$$z_{n+1} = F\left(z_n + \frac{1}{|R_{ex}|} \sum_{i \in R_{ex}} z_n^i\right)$$

Auswirkung der Radien

Dynamik eines autonomen Netzwerks gekoppelter Neuronen im Allgemeinen

$$z_{n+1} = F\left(z_n + \frac{1}{|R_{ex}|} \sum_{i \in R_{ex}} x_n^i - \frac{1}{|R_{in}|} \sum_{i \in R_{in}} y_n^i\right)$$

umgeformt zu $(x_n^i - y_n^i = z_n^i)$

$$z_{n+1} = F\left(z_n + \frac{1}{|R_{ex}|} \sum_{i \in R_{ex}} z_n^i + \frac{1}{|R_{ex}|} \sum_{i \in R_{ex}} y_n^i - \frac{1}{|R_{in}|} \sum_{i \in R_{in}} y_n^i\right)$$

Für $R_{ex} = R_{in}$ ergibt sich die oben schon verwendete Form

$$z_{n+1} = F\left(z_n + \frac{1}{|R_{ex}|} \sum_{i \in R_{ex}} z_n^i\right)$$

welche gegen Zustand ständiger Aktivierung strebt

Auswirkung der Radien

Dynamik eines autonomen Netzwerks gekoppelter Neuronen im Allgemeinen

$$z_{n+1} = F\left(z_n + \frac{1}{|R_{ex}|} \sum_{i \in R_{ex}} x_n^i - \frac{1}{|R_{in}|} \sum_{i \in R_{in}} y_n^i\right)$$

umgeformt zu $(x_n^i - y_n^i = z_n^i)$

$$z_{n+1} = F\left(z_n + \frac{1}{|R_{ex}|} \sum_{i \in R_{ex}} z_n^i + \frac{1}{|R_{ex}|} \sum_{i \in R_{ex}} y_n^i - \frac{1}{|R_{in}|} \sum_{i \in R_{in}} y_n^i\right)$$

Für $R_{ex} = R_{in}$ ergibt sich die oben schon verwendete Form

$$z_{n+1} = F\left(z_n + \frac{1}{|R_{ex}|} \sum_{i \in R_{ex}} z_n^i\right)$$

welche gegen Zustand ständiger Aktivierung strebt.

Praktische Durchführung

- 1 Anfangsbedingungen des Netzes beliebig wählen
- 2 Bild liefert Input für die Neuronen

Praktische Durchführung

- 1 Anfangsbedingungen des Netzes beliebig wählen
- 2 Bild liefert Input für die Neuronen
- 3 Wähle a nach geeignetem I_c

Praktische Durchführung

- 1 Anfangsbedingungen des Netzes beliebig wählen
- 2 Bild liefert Input für die Neuronen
- 3 Wähle a nach geeignetem I_c
- 4 Neuronen, welche nach festgelegter Anzahl von Iterationen ihren sukzessiven Output nicht ändern (bis auf Fehler Θ) repräsentieren das Objekt, die Übrigen den Hintergrund

Praktische Durchführung

- 1 Anfangsbedingungen des Netzes beliebig wählen
- 2 Bild liefert Input für die Neuronen
- 3 Wähle a nach geeignetem I_c
- 4 Neuronen, welche nach festgelegter Anzahl von Iterationen ihren sukzessiven Output nicht ändern (bis auf Fehler Θ) repräsentieren das Objekt, die Übrigen den Hintergrund

Künstliches Bild

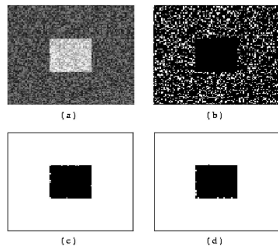


Abbildung: 200 Iterationen
($a = 20$, $\mu = 0,25$ und Schwellenwert $\Theta = 0,02$): (a) Original, (b) Output ungekoppelt, (c) gekoppelt mit $R_{ex} = 1$, $R_{in} = 2$ und (d) gekoppelt mit $R_{ex} = R_{in} = 2$.

Das künstlich erzeugte Bild besteht aus

- Viereck der Intensität I_2 (das Objekt)
- Hintergrund der Intensität I_1 ($I_1 < I_2$)
- Rauschen der Stärke ϵ mit $SNR=1$ (Spektrum der Signalstärke durch Rauschintensität)
- Leistung des ungekoppelten Netzwerks schlecht

Künstliches Bild

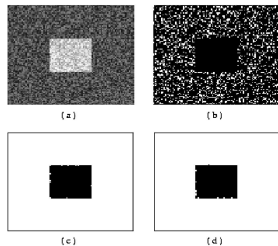


Abbildung: 200 Iterationen
($a = 20$, $\mu = 0,25$ und Schwellenwert $\Theta = 0,02$): (a) Original, (b) Output ungekoppelt, (c) gekoppelt mit $R_{ex} = 1$, $R_{in} = 2$ und (d) gekoppelt mit $R_{ex} = R_{in} = 2$.

Das künstlich erzeugte Bild besteht aus

- Viereck der Intensität I_2 (das Objekt)
- Hintergrund der Intensität I_1 ($I_1 < I_2$)
- Rauschen der Stärke ϵ mit $SNR=1$ (Spektrum der Signalstärke durch Rauschintensität)
- Leistung des ungekoppelten Netzwerks schlecht
- Kopplung segmentiert Bild bis auf Teile des Randes korrekt

Künstliches Bild

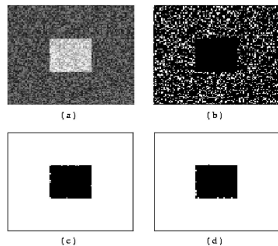
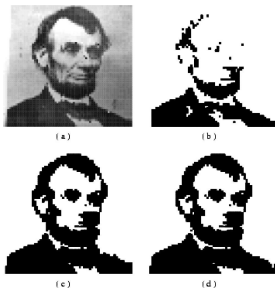


Abbildung: 200 Iterationen
($a = 20$, $\mu = 0,25$ und Schwellenwert
 $\Theta = 0,02$): (a) Original, (b) Output
ungekoppelt, (c) gekoppelt mit
 $R_{ex} = 1$, $R_{in} = 2$ und (d) gekoppelt mit
 $R_{ex} = R_{in} = 2$.

Das künstlich erzeugte Bild besteht aus

- Viereck der Intensität I_2 (das Objekt)
- Hintergrund der Intensität I_1 ($I_1 < I_2$)
- Rauschen der Stärke ϵ mit $SNR=1$ (Spektrum der Signalstärke durch Rauschintensität)
- Leistung des ungekoppelten Netzwerks schlecht
- Kopplung segmentiert Bild bis auf Teile des Randes korrekt

Lincoln

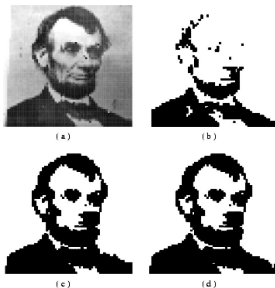


Die Abbildung zeigt ein 5-Bit
Graustufenbild von Lincoln.

- I_C durch die Auswertung der Graustufen bestimmt

Abbildung: 300 Iterationen
($a = 30$, $\mu = 0,25$ und Schwellenwert $\Theta = 0,02$): (a) Original, (b) Output ungekoppelt, (c) gekoppelt mit $R_{ex} = 1$, $R_{in} = 2$ und (d) gekoppelt mit $R_{ex} = R_{in} = 2$.

Lincoln



Die Abbildung zeigt ein 5-Bit Graustufenbild von Lincoln.

- I_c durch die Auswertung der Graustufen bestimmt
- Leistung des ungekoppelten Netzwerks unbefriedigend

Abbildung: 300 Iterationen ($a = 30$, $\mu = 0,25$ und Schwellenwert $\Theta = 0,02$): (a) Original, (b) Output ungekoppelt, (c) gekoppelt mit $R_{ex} = 1$, $R_{in} = 2$ und (d) gekoppelt mit $R_{ex} = R_{in} = 2$.

Lincoln

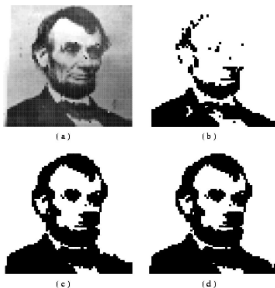


Abbildung: 300 Iterationen
($a = 30$, $\mu = 0,25$ und Schwellenwert
 $\Theta = 0,02$): (a) Original, (b) Output
ungekoppelt, (c) gekoppelt mit
 $R_{ex} = 1$, $R_{in} = 2$ und (d) gekoppelt mit
 $R_{ex} = R_{in} = 2$.

Die Abbildung zeigt ein 5-Bit
Graustufenbild von Lincoln.

- I_c durch die Auswertung der Graustufen bestimmt
- Leistung des ungekoppelten Netzwerks unbefriedigend
- Kopplung verbessert Segmentierung erheblich

Lincoln

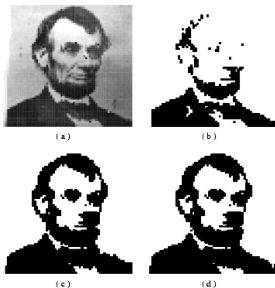


Abbildung: 300 Iterationen
($a = 30$, $\mu = 0,25$ und Schwellenwert
 $\Theta = 0,02$): (a) Original, (b) Output
ungekoppelt, (c) gekoppelt mit
 $R_{ex} = 1$, $R_{in} = 2$ und (d) gekoppelt mit
 $R_{ex} = R_{in} = 2$.

Die Abbildung zeigt ein 5-Bit
Graustufenbild von Lincoln.

- I_c durch die Auswertung der Graustufen bestimmt
- Leistung des ungekoppelten Netzwerks unbefriedigend
- Kopplung verbessert Segmentierung erheblich
- für das gesamte Bild a (und damit I_c) einheitlich gewählt

Lincoln

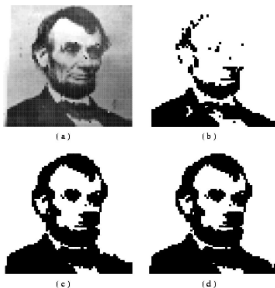


Abbildung: 300 Iterationen
($a = 30$, $\mu = 0,25$ und Schwellenwert
 $\Theta = 0,02$): (a) Original, (b) Output
ungekoppelt, (c) gekoppelt mit
 $R_{ex} = 1$, $R_{in} = 2$ und (d) gekoppelt mit
 $R_{ex} = R_{in} = 2$.

Die Abbildung zeigt ein 5-Bit
Graustufenbild von Lincoln.

- I_c durch die Auswertung der Graustufen bestimmt
- Leistung des ungekoppelten Netzwerks unbefriedigend
- Kopplung verbessert Segmentierung erheblich
- für das gesamte Bild a (und damit I_c) einheitlich gewählt